

## بررسی تأثیر تغییرات رطوبت خاک بر فاز تداخل‌سنگی راداری

صادق رنجبر<sup>۱</sup>، مهدی آخوندزاده هنزاژی<sup>\*۲</sup>

۱- کارشناس ارشد سنجش از دور، دانشکده مهندسی نقشه‌برداری و اطلاعات مکانی، پردیس دانشکده‌های فنی، دانشگاه تهران

۲- استادیار دانشکده مهندسی نقشه‌برداری و اطلاعات مکانی، پردیس دانشکده‌های فنی، دانشگاه تهران

تاریخ دریافت مقاله: ۱۴۰۰/۰۱/۰۴      تاریخ پذیرش مقاله: ۱۳۹۹/۰۱/۲۸

### چکیده

تداخل‌سنگی راداری تفاضلی (*DInSAR*) به عنوان یک ابزار بالقوه سنجش از دور برای شناسایی جابجایی‌های سطح زمین با دقت زیر سانتی‌متر شناخته شده است. تغییرات رطوبت سطحی خاک ( $\Delta M_{\text{v}}$ ) در زمان میان دو تصویر به عنوان یک پارامتر تأثیرگذار بر فاز تداخل‌سنگی ( $\varphi$ )، باعث ایجاد خطای برآورد جابجایی می‌شود. در این پژوهش، میزان و نحوه تأثیرگذاری  $\Delta M_{\text{v}}$  بر  $\varphi$  در زمین‌هایی با پوشش گیاهی گندم، کلزا، علف هرز، نخود و زمین بایر با استفاده از یک مدل رگرسیونی بطور تجربی بررسی شده است. برای این بررسی از داده‌های هوایی سنجنده UAVSAR (باند L) همراه با داده‌های اندازه‌گیری شده زمینی در کمپین زمینی کانادا برای رطوبت خاک در سال ۲۰۱۰ (*CanEx-SM10*) استفاده شده است. با توجه به نمودارهای پراگندگی بین  $\varphi$  و  $\Delta M_{\text{v}}$  و مشاهده رابطه مستقیم و تقریباً خطی بین این دو پارامتر، تعدادی فرضیه برای استفاده از یک مدلسازی رگرسیونی در نظر گرفته شد. با مقایسه فاز تخمین زده شده با استفاده از مدل رگرسیونی کالیبره شده و فاز محاسبه شده از تکنیک تداخل‌سنگی، بهترین نتایج مدل در زمین بایر با خطای جذر میانگین مربعات ( $RMSE$ )،  $R^2$ ،  $0.69$ % تا  $0.72$ % در قطبیدگی‌های  $VV$  و  $HH$  بدست آمده است. بطور کلی، نتایج مدل رگرسیونی نشان می‌دهد بدون تأثیر بقیه عوامل تأثیرگذار بر  $\varphi$ ، این پارامتر می‌تواند به عنوان تابعی رگرسیونی از تغییرات سطح رطوبت خاک در زمین‌های بایر باشد. همچنین، این مدلسازی نتایج قابل قبولی برای زمین‌های دارای پوشش گیاهی ارائه می‌دهد ( $RMSE = 0.60$  رادیان تا  $0.69$  رادیان و  $R^2 = 0.40$  تا  $0.55$ %) با توجه به نوع پوشش گیاهی و قطبیدگی‌های مختلف. در مقایسه قطبیدگی‌ها، نوسانات  $\varphi$  در قطبیدگی‌های هم‌قطبش ( $HH$  و  $VV$ ) همبستگی بیشتری با  $\Delta M_{\text{v}}$  نشان می‌دهند. بطور کلی،  $\varphi$  تابعی مستقیم و تقریباً خطی از  $\Delta M_{\text{v}}$  می‌باشد و تغییرات زیاد رطوبت سطحی خاک باعث ورود خطای قابل توجهی در برآورد جابجایی می‌شود.

کلید واژه‌ها : تداخل‌سنگی راداری، فاز، رطوبت سطحی خاک، تغییرات پوشش گیاهی.

\* نویسنده مکاتبه کننده: تهران-خیابان کارگر شمالی-بالاتر از تقاطع جلال آل احمد-دانشکده فنی دانشگاه تهران-دانشکده مهندسی نقشه‌برداری و اطلاعات مکانی.

تلفن: ۰۲۱۶۱۱۴۵۲۲

## ۱- مقدمه

رطوبت خاک می‌تواند در مقیاس مکانی-زمانی بسیار کوچک تغییر قابل توجه ای کند نمی‌توان از روش‌های فیلترینگ مکانی برای کم کردن تأثیرات تغییرات رطوبت بر فاز تداخل‌سنجدی استفاده کرد [۸، ۹ و ۱۰]. گابریل و همکاران (۱۹۸۹) در ابتدا فرض کردند که تغییرات رطوبت سطح خاک بر روی سیگنال تداخل-سنجدی اثرگذار می‌باشد. سپس با توجه به تغییرشکل‌های تخمین زده شده با استفاده از  $\varphi$ ، که در زمین‌های کشاورزی ابیاری شده و بدون هیچ جابجایی بوده اند، فرضیه خود را اثبات کردند [۶]. بطور کلی، محققان به دو دلیل علاقه‌مند به مطالعه تأثیر تغییر رطوبت سطح خاک بر  $\varphi$  هستند:

- ۱- تصحیح خطای مربوطه در فرآیند تخمین جابجایی
- ۲- استفاده از پتانسیل روش تداخل‌سنجدی برای نظارت

$$\Delta M_v$$

سه قابلیت مشاهداتی در روش تداخل‌سنجدی راداری  $\varphi$ ، همدوسي، و فاز سه‌گانه می‌باشد که برای بررسی رابطه  $\Delta M_v$  و  $\varphi$  مورد استفاده قرار می‌گیرند [۷ و ۱۱]. همه مشاهدات روش تداخل‌سنجدی راداری به  $\Delta M_v$  حساس هستند، در حالی که تنها  $\varphi$  تحت تأثیر تغییر شکل‌ها (جابجایی‌های هندسی سطح) قرار می‌گیرد [۱۲، ۱۳ و ۱۴]. فاز سه‌گانه، به عنوان یکی از مشاهدات تداخل‌سنجدی راداری، می‌تواند برای سه یا چند رادار بست آید [۱۴ و ۱۵]. از مشاهدات تداخل-سنجدی راداری که نسبت به جابجایی حساس نیستند، می‌توان برای اصلاح  $\varphi$  و از این رو اصلاح تخمین جابجایی استفاده کرد [۱۱]. اسکات هنسلی و همکاران (۲۰۱۱) داده‌های تداخل‌سنجدی قطبیده با عبور تکراری  $UAVSAR$  را با اندازه‌گیری‌های تولید شده از پروازهای  $UAVSAR$  زمینی، بمنظور بررسی ارتباط میان  $\Delta M_v$  و  $\varphi$  مقایسه کردند. نتایج این تحقیق نشان‌دهنده‌ی رابطه مستقیم بین  $\Delta M_v$  و  $\varphi$  بوده است [۱۶]. بارت و

تداخل‌سنجدی راداری تفاضلی<sup>۱</sup> (*DInSAR*) یک روش سنجش از دوری است که می‌تواند جابجایی‌های سطح زمین را با دقت زیر سانتی‌متر برآورد کند. یک پارامتر قابل مشاهده کلیدی این روش، فاز تداخل‌سنجدی راداری ( $\varphi$ ) می‌باشد که از ترکیب دو تصویر با اختلاف زمانی یا مکانی مشخص بدست می‌آید. با استفاده از  $\varphi$  جابجایی‌های سطح زمین با دقت زیر سانتی‌متر قابل برآورد می‌باشد. پارامترهای بسیاری در فاصله‌ی زمانی  $\varphi$  بین دو تصویر تغییر می‌کنند که می‌توانند بر سیگنال  $\varphi$  تأثیرگذار باشند و نهایتاً باعث خطا در برآورد جابجایی با استفاده از این روش گردند [۱]. تغییر رطوبت سطح خاک در زمان میان دو تصویر، بر فاز تداخل‌سنجدی راداری تأثیر می‌گذارد که نتیجه آن ایجاد خطا در برآورد جابجایی می‌شود که این خطأ تا ده درصد طول موج رادار می‌تواند باشد [۲ و ۳]. با توجه به محدوده طیف الکترومغناطیسیس مورد استفاده در سنجنده‌های راداری که از طول موج ۳ تا ۳۰ سانتی‌متر می‌باشد این خطأ از ۳ میلی‌متر تا ۳ سانتی‌متر می‌تواند باشد که با توجه به این مقدار، بزرگی این خطأ می‌تواند از دقت تخمین جابجایی یا حتی خود جابجایی بیشتر باشد [۴ و ۵].

محققان جابجایی برآورد شده توسط روش تداخل-سنجدی که بدليل آبیاری را هنگام کار با داده‌های *SEASAT* بوده است را در سال ۱۹۸۹ گزارش کردند، که نشان می‌دهد رابطه ای بین تغییرات رطوبت سطحی خاک ( $\Delta M_v$ ) و  $\varphi$ ، حداقل از سال ۱۹۸۹ شناسایی شده است [۶]. با این وجود، مطالعات کمی در مورد تأثیر تغییر رطوبت بر  $\varphi$  صورت گرفته است، در حالی که مطالعات گستره‌ای بر خطاهای مداری و تأخیر ترопیسفری وجود دارد [۷ و ۸]. از انجایی که

<sup>۱</sup> Repeat-pass polarimetric-interferometric

<sup>۱</sup> Differential Interferometric Synthetic Aperture Radar

و همکاران (۲۰۱۸) برای اولین بار از فاز سه‌گانه با استفاده از مجموعه ای از تصاویر ALOS-2 / PALSAR-2 باند  $L$  برای بازیابی  $\Delta M_v$  استفاده کرد. در این تحقیق، آنها نشان می‌دهند که ابهاماتی برای تخمین  $\Delta M_v$  فقط با استفاده از فاز سه‌گانه وجود دارد. آنها از همدوسي برای حل اثر ابهامات استفاده کردند. نتایج با  $\Delta M_v$  زمینی ارزیابی شد و نشان داد که درجه بالایی از همبستگی وجود دارد [۸]. مولان و همکاران (۲۰۲۰) تأثیر خواص آماری  $\Delta M_v$  را بر همدوسي و فاز سه‌گانه مطالعه کردند تا بررسی کند آیا با استفاده از همدوسي و فاز سه‌گانه می‌توان  $\Delta M_v$  را تخمین زد. نتایج نشان می‌دهد که کاهش همبستگی فاز سه‌گانه و با افزایش در  $\Delta M_v$  رخ میدهد. علاوه بر این، نتایج نشان داد که نتایج متعدد برای  $\varphi$ ، همدوسي و فاز سه‌گانه<sup>۱</sup> با نوع پوشش زمین ارتباط دارد. به طور کلی، نتایج نشان دادند که همدوسي و فاز سه‌گانه ابزار نامناسبی برای تخمین  $\Delta M_v$  هستند [۱۷].

با توجه به اینکه تأثیر  $\Delta M_v$  بر  $\varphi$  را در زمین‌هایی با پوشش گیاهی مختلف در هیچ تحقیقی به صورت اختصاصی بررسی نشده است، در این تحقیق تأثیر  $\Delta M_v$  بر  $\varphi$  در قطبیدگی‌های مختلف و در پوشش‌های گیاهی مختلف در باند  $L$  مورد بررسی و بحث قرار گرفته است. در این تحقیق پس از در نظر گرفتن فرضیاتی راجع به اجزای سیگنال فاز تداخل‌سنجدی راداری، با استفاده از یک مدل رگرسیونی رابطه میان  $\Delta M_v$  و  $\varphi$  در زمین‌های با پوشش‌های کلزا، نخود فرنگی، علف‌های هرز، گندم، و زمین بایر بررسی شده است. نتایج مدل رگرسیونی با استفاده از داده‌های هوایی سنجندهی UAVSAR (باند  $L$ ) همراه با داده‌های اندازه‌گیری شده‌ی زمینی در کمپین زمینی کانادا برای رطوبت خاک در سال ۲۰۱۰<sup>۲</sup> (CanEx-SM10<sup>۳</sup>) ارزیابی شده است.

<sup>۱</sup> Closure or triple phase

<sup>۲</sup> Canadian Experiment for Soil Moisture in 2010

همکاران (۲۰۱۳) از تداخل‌سنجدی راداری برای تخمین  $\Delta M_v$  در مناطق کشاورزی استفاده کرد. نتایج ضرایب همبستگی  $R = 0.51$  و  $R = 0.81$  با توجه به انواع محصولات را نشان داد که دلیل کم شدن دقت، فاصله زمانی-مکانی زیاد بین جفت تصویرها بوده است. در واقع، ورود اجزای مزاحم همچون تغییرات پوشش خاک و تأثیرات مدل رقومی زمین بر فاز تداخل‌سنجدی باعث کاهش دقت شده است [۱۲]. در سالهای اخیر تحقیقات ارزشمندی در این زمینه انجام شده است. دی‌زن و همکاران (۲۰۱۴) مدلی را بر اساس امواج صفحه ارائه داد که عدد موج پیچیده عمودی موجود در خاک را به عنوان تابعی از ویژگی‌های هندسی و دی‌الکتریک و کوهرنس پیچیده تداخل مدلسازی می‌کند. در این مقاله نتایج با داده‌های هوایی SAR اخذ شده از باند  $L$  ارزیابی شده‌اند [۵]. سیمون زویبک و دیگران (۲۰۱۵) از دو مجموعه داده هوایی در باند  $L$  برای بررسی ارتباط بین  $\Delta M_v$  و  $\varphi$ ، همدوسي و همچنین فاز سه‌گانه با استفاده از روش‌های رگرسیون استفاده کرد. نتایج نشان داد که وابستگی  $\varphi$  برای بیش از ۷۰ درصد از مزارع در قطبش  $HH$ ، ۵۳ درصد از مزارع در قطبش  $VH$  و بیش از ۶۴ درصد از مزارع در قطبش  $VV$  معنی دار بود [۷]. سیمون زویبک و همکاران (۲۰۱۷) تحلیل می‌کنند که آیا می‌توان رطوبت خاک را از سه مشاهدات تداخل-سنجدی راداری، با هدف جداسازی اثرات  $\Delta M_v$  و  $\Delta M_{v\theta}$  جابجایی بر روی  $\varphi$ ، تخمین زد. آنها سعی کردند  $\Delta M_v$  را از سه مشاهده تداخل‌سنجدی راداری تخمین بزنند بدون اینکه هیچ فرضی در مورد پویایی زمانی - مکانی پیچیده آن داشته باشند. نتایج نشان می‌دهد که سری زمانی  $\Delta M_v$  تا یک جبران کلی را می‌توان توسط فاز مرتع تداخل‌سنجدی راداری تخمین زد، همبستگی تقریبی  $0.75 - 0.90$  با اندازه‌گیری‌های زمینی نتیجه داده شده است. از آنجا که تنها  $\varphi$  می‌تواند وسیله مناسبی برای  $\Delta M_v$  باشد، آنها نتیجه گرفتند که تنها با استفاده از مشاهدات تداخل‌سنجدی راداری، جدایی جابجایی‌ها و  $\Delta M_v$  در عمل دشوار است [۱۱]. دی‌زن

غیره)، تغییرات اتمسفر و نویز و خطای مداری است [۱، ۲۰ و ۲۱ و ۲۲]. بنابراین در این تحقیق همانند تحقیقات قبلی سیگنالهای تشکیلدهنده‌ی  $\varphi$  را بدین گونه تعریف میکنیم [۷، ۸، ۲۳ و ۲۴]: ۱- اثرات تغییرات هندسی سطح زمین (که عمدتاً بدلیل جابجایی)، ۲- اثرات تغییرات الکتریکی سطح زمین که موجب تغییرات پراکنشی در سیگنال رادار می‌شود (عدمتأتی بدلیل  $\Delta M_v$  و تغییرات پوشش گیاهی)، ۳- وجود خطا در مدل ارتفاعی مورد استفاده در حذف اثر توپوگرافی از اینترفروگرام، ۴- اثرات اتمسفر، ۵- اثرات مدار، و اثرات نویز. رابطه (۳) اجزای  $\varphi$  را شرح داده است.

$$\begin{aligned} \varphi_{DInSAR} = & \\ \varphi_{def} + \varphi_{Diel\_soil} + \varphi_{veg} + \varphi_{topo\_res} + \varphi_{atm\_d} + & \\ \varphi_{orb\_d} + \varphi_{noise} & \end{aligned} \quad \text{رابطه (۳)}$$

در رابطه (۳)،  $\varphi_{def}$  جمله فازی مرتبط با تغییر شکل هندسی سطح را مدل می‌کند [۲۶ و ۲۵].  $\varphi_{Diel\_soil}$  جمله فاز مربوط به تغییرات دیالکتریکی سطح خاک را برای  $\varphi$  مدل می‌کند، و  $\varphi_{veg}$  تغییرات فاز را به دلیل اثرات تغییرات پوشش گیاهی مدل می‌کند [۷ و ۲۴]. اثرات تغییرات پوشش گیاهی باقیمانده در اثر خطای توپوگرافی  $\varphi_{topo\_res}$  مؤلفه باقیمانده در ترتیب  $\varphi_{atm\_d}$  و  $\varphi_{orb\_d}$  است [۲۰].  $\varphi_{atm\_d}$  و  $\varphi_{orb\_d}$  به ترتیب جمله‌های فازی متأثر از تفاوت خطای مداری و فاز جوی در دو زمان را مدل میکنند [۲۰ و ۲۲].  $\varphi_{noise}$  جمله فازی مرتبط با نویز را مدل می‌کند [۱].

### ۳- مواد

در این مطالعه، از داده‌های تمام قطبیدگی اخذ شده در باند  $L$  توسط سنجنده UAVSAR همراه با داده‌های زمینی اندازه‌گیری شده در کمپین *CanEx-SM10* استفاده شده است [۲۷]. داده‌ها در کمپین *CanEx-SM10* در منطقه کناستون<sup>۱</sup> در استان ساسکاچوان

در این مطالعه، در بخش اول مقدمه ارائه شده است. سپس در بخش دوم خلاصه‌ای از تئوری تکنیک تداخل‌سنجدی ارائه شده است. در ادامه منطقه مورد مطالعه و داده‌های مورد استفاده ارائه شده است. بخش چهارم روش مورد استفاده در این پژوهش بیان شده است و سپس در بخش پنجم نتایج بدست آمده ارائه و بحث شده است. در نهایت در بخش ششم نتیجه‌گیری کلی پژوهش آورده شده است.

### ۲- تداخل‌سنجدی راداری

$\varphi$  با استفاده از ترکیب دو تصویر مختلط راداری (*SLC*) با اختلاف زمانی یا مکانی معین محاسبه می‌گردد. در یک سیستم راداری تمام پلاریزه، هر پیکسل مختلط *SLC*، یک ماتریس مختلط  $S$  می‌باشد که در رابطه (۱) تعریف می‌گردد [۱۸]:

$$S = \begin{bmatrix} S_{HH} & S_{HV} \\ S_{VH} & S_{VV} \end{bmatrix} \quad \text{رابطه (۱)}$$

همچنین هر پیکسل مختلط *SLC* می‌تواند به صورت یک بردار پراکنش  $S_{HH} \ S_{HV} \ S_{VV}$ <sup>T</sup> تعریف شود [۱۸]. در یک سیستم پلاریمتری، اگر  $q_n$  و  $q_m$  دو بردار پراکنش از دو تصویر مختلط *SLC* باشند، انگاه سیگنال تداخل‌سنجدی راداری را میتوان با استفاده از ماتریس کوریانس  $C_{n,m} = \langle q_n q_m^\dagger \rangle$  (جاییکه  $+ \alpha$  اپراتور مزدوج و ترانهاده و  $(\cdot)$  اپراتور میانگین می‌باشد) طبق رابطه (۲) بدست آورد [۱۹]:

$$\text{رابطه (۲)}$$

$$\gamma_{n,m}(\omega) = \frac{\omega^\dagger C_{n,m} \omega}{\sqrt{(\omega^\dagger C_{n,n} \omega)(\omega^\dagger C_{m,m} \omega)}} = |\gamma_{n,m}(\omega)| e^{j\varphi_{n,m}(\omega)}$$

جاییکه  $\omega$ ، بردار مشخص کننده‌ی نوع پلاریمتری (برای مثال  $[0 \ 1]^T$  برای قطبیدگی  $VV$  می‌باشد. همدوسی  $(\gamma)$  و  $\varphi$  (جاییکه)، بترتیب اندازه و آرگومان عدد مختلط  $\gamma_{n,m}$  برای یک قطبیدگی مشخص مرتبط با بردار قطبیدگی  $\omega$  می‌باشد [۱۸]. همانطور که در بخش مقدمه بیان شد،  $\varphi$  تحت تأثیر عواملی همچون تغییرات در هندسه‌ی تصویربرداری، توپوگرافی، تغییرات سطح زمین (جاجایی یا مشخصات سطحی مانند رطوبت سطحی خاک، پوشش گیاهی و

<sup>1</sup>Kenaston

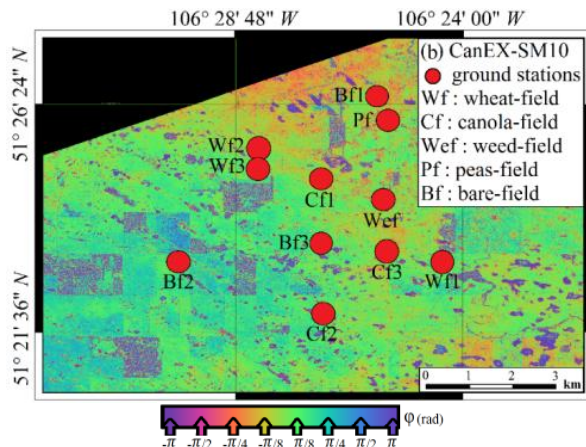
کمپین کمتر از ۱۱ روز (در بیشترین حالت ۱۱ روز) است، تغییرات پوشش زمین قابل اغماض است. شرایط هواشناسی و دامنه  $\Delta M_v$  در زمان اخذ تصویر در جدول (۱) ارائه شده است.

شش تصویر UAVSAR (باند  $L$ ) اخذ شده با *baseline* مکانی فضایی تقریباً صفر از تاریخ ۲ ژوئن تا ۱۴ ژوئن ۲۰۱۰ برای این مطالعه موردی استفاده شده است. جدول (۱) خصوصیات بیشتری از تصاویر را ارائه میدهد. داده‌های UAVSAR استفاده شده در این کمپین دارای قطبیدگی کامل می‌باشند ( $HH$ ,  $VH$ ,  $VV$ ,  $HV$ ) و دارای توان تفکیک مکانی  $0.8$  متر در آزیمoot و  $1.7$  متر در دامنه هستند. اندازه‌گیری‌های زمینی ویژگی‌های سطح خاک (به عنوان مثال رطوبت سطح خاک در ارتفاع‌های مختلف و زبری) و خصوصیات پوشش گیاهی (به عنوان مثال ارتفاع پوشش گیاهی، شاخص سطح برگ (*LAI*) و زیست توده (*b*)) و نوع محصول برای بیشتر مزارع در حین اخذ داده‌ها در دسترس است [۲۷].

با توجه به هدف مقاله، الگوی زمانی  $\Delta M_v$  و الگوی زمانی  $\varphi_{DInSAR}$  در شکل (۲) به منظور بررسی نحوه تغییرات دو این پارامتر در زمان نمایش داده شده است. همانطور که مشاهده می‌شود الگوی زمانی  $\Delta M_v$  با تنوع سازگار است. در این شکل پیشرفت زمانی رطوبت سطحی خاک و  $\varphi_{DInSAR}$  را در سه نمونه نشان داده شده است. در این شکل، همه اختلاف‌ها با توجه به تصویر و داده‌های روز ۱۵ ژوئن ۲۰۱۰ محاسبه شده اند. در این مطالعه از اندازه‌گیری‌های رطوبت سطحی خاک در  $0$  تا  $5$  سانتی متر خاک استفاده شده است که روش تحلیل‌ها در بخش روش توضیح داده شده است.

( $SK^1$ ) در کشور کانادا اخذ شده است. شکل (۱) منطقه مورد مطالعه در این کمپین را نمایش میدهد. در این کمپین اندازه‌گیری زمینی مشخصات پوشش گیاهی و سطح خاک از تاریخ ۲ ژوئن تا ۱۴ ژوئن ۲۰۱۰ برای پشتیبانی از فرایندهای توسعه الگوریتم، اعتبار سنجی و کالیبراسیون برای ماموریت‌های ماهواره‌ای *SMOS* و *SMAP* جمع آوری شد [۲۷]. این منطقه توسط چمنزارها، مراتع و مزارع کشاورزی دیم پوشانده شده است. در منطقه به دلیل اینکه عمدها جنس خاک لومی می‌باشد تورم و جمع شدن گسترهای در رفتار خاک در رطوبت‌های مختلف انتظار نمی‌رود [۱۱ و ۲۷]. محیط زیست کانادا با استفاده از از حسگر استیون پروب  $2$  در اعماق  $5$ ،  $50$  و  $50$  سانتی متر برای اندازه-گیری داده‌های زمینی رطوبت سطحی خاک در ایستگاه‌های مختلف استفاده شده است. دقت اخذ داده این حسگرها  $0.01$  در واحد حجم ( $m^{+3}/m^{-3}$ ) می‌باشد [۲۷]. اندازه‌گیری‌های زمینی از ویژگی‌های پوشش گیاهی و خاک از جمله ارتفاع پوشش گیاهی، شاخص سطح برگ (*LAI*), زیست توده (*b*) و دمای خاک (*T*), و رطوبت سطح خاک در ارتفاع‌های مختلف، تراکم خاک، زبری سطح خاک (*S*) اندازه‌گیری شده اند. زمان اندازه-گیری داده‌های زمینی بسیار به زمان اخذ داده زمینی هواپی نزدیک می‌باشد (اختلاف زمانی اخذ داده زمینی و هواپی برای تمامی نمونه‌ها کمتر از  $15$  دقیقه می-باشد) [۲۷]. در این مطالعه از اندازه‌گیری‌های حسگر عمودی  $0$  تا  $5$  سانتی متری استفاده شده است. در این کمپین از سه مزرعه گندم، سه مزرعه کلزا، یک مزرعه علف‌های هرز، یک مزرعه نخود و سه مزرعه بایر استفاده شده است که تمامی این مزارع با دون پوشش بودند یا تا حدی با مواد باقی مانده محصول پوشیده شده بودند [۲۷]. از آنجا که اختلاف زمانی در این

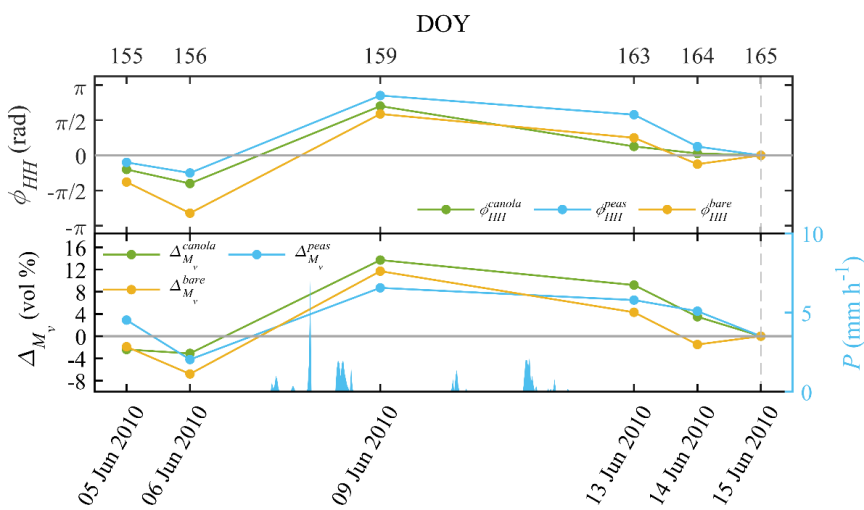
<sup>1</sup> Saskatchewan<sup>2</sup> Steven's Water Hydra Probe 2



شکل ۱: اینترفروگرام بین روزهای ۱۵۶ و ۱۵۹ سال در منطقه‌ی مورد مطالعه در سایت CanEx-SM10 و موقعیت ایستگاه‌های اندازه‌گیری داده‌های زمینی در این منطقه

جدول ۱: مشخصات تصاویر هوایی و شرایط هواشناسی در زمان اخذ داده‌ها (IA<sub>CS</sub>: بازه‌ی زاویه برخورد در منطقه مورد مطالعه,  $M_v$ : میانگین رطوبت حجمی سطح خاک, 3-days P: میانگین بارش در سه روز).

تاریخ	IACS (degree)	3-days P (mm)	$M_v$ (vol. %)	دما (°C)
۲۰۱۰ ۰۵	[۳۶/۴۳ - ۴۷/۸۶]	.	۲۸/۰	۱۳/۷
۲۰۱۰ ۰۶	[۳۶/۴۳ - ۴۷/۸۶]	.	۲۷/۲۵	۱۴/۲
۲۰۱۰ ۰۹	[۳۶/۴۳ - ۴۷/۸۶]	۱۹/۴	۳۲/۵	۱۲/۸
۲۰۱۰ ۱۳	[۳۶/۴۳ - ۴۷/۸۶]	۱۷/۶	۴۱/۹	۱۱/۹
۲۰۱۰ ۱۴	[۳۶/۴۳ - ۴۷/۸۶]	۶/۳	۳۹/۲۷	۱۱/۲
۲۰۱۰ ۱۵	[۳۶/۴۳ - ۴۷/۸۶]	.	۳۰/۸	۱۱/۳



شکل ۲: تغییرات زمانی  $\phi$  در قطبیدگی  $HH$  و رطوبت سطحی خاک را برای سه نمونه در کمپین ۱۰ CanEx-SM تمامی محاسبات با توجه به تصویر پایه در ۱۶۵ امین روز سال انجام شده است. میله‌های آبی میزان بارندگی اندازه‌گیری شده در زمین با بر شماره یک در این منطقه را نشان می‌دهند.

ارتباط بین رطوبت سطح خاک و  $\varphi$  به شدت کاهش یافت. بنابراین، به دلیل وارد کردن خطاهای اضافی که ارتباط بین  $\Delta M_v$  و  $\varphi$  را بشدت تحت تأثیر قرار می‌دهند، بمنظور وارد نشدن اجزای مزاحم، حذف این اجزا در این تحقیق در نظر گرفته نشده است. به هر حال، روشی مبتنی بر توزیع نرمال دو متغیره بر اساس توزیع نرمال  $\Delta M_v$  و  $\varphi$  در نظر گرفته شده است تا با حذف داده‌های غیرعادی مانند نویز، سهم اجزای مزاحم به حداقل رسانده شوند. این روش در یک بخش جداگانه در ادامه توضیح داده شده است. از آنجا که فاصله زمانی برای همه جفت‌های کمپین *CanEx-SM10* ۱۱ کمتر از ۱۱ روز می‌باشد،  $\varphi_{def}$  قابل اغماس تلقی شده است. همچنین جمله‌های  $\varphi_{topo\_res}$  و  $\varphi_{topo}$  نیز بدلیل پایه مکانی صفر بین جفت تصاویر تداخلستجی راداری ناچیز در نظر گرفته شده است، بطور کلی مقدار این مؤلفه‌ها در مقایسه با سهم  $\Delta M_v$  بسیار ناچیز است [۲۷].

**۳-۴- جزء مربوط به تغییرات رطوبت سطح خاک** با توجه به تأثیرات قابل توجه مؤلفه تغییرات رطوبت سطح بر  $\varphi$ ، به خصوص با پایه زمانی بسیار کوتاه و پایه مکانی صفر، فقط این مؤلفه در مدل رگرسیونی در این مطالعه در نظر گرفته شده است. نفوذ بالای باند  $L$  در پوشش گیاهی باعث می‌شود که تغییرات جزئی این مؤلفه برای رادار با این طول موج، نامرئی به نظر برسد که باعث می‌شود  $\Delta M_v$  در این باند تأثیرات بیشتری بر تغییرات سیگنال رادار در زمین‌های پوشش گیاهی بسیار کم داشته باشد [۲۸، ۱۱ و ۲۹].

چهار فرضیه در مورد روند فیزیکی اساسی سیگنال رطوبت خاک وجود دارد. این فرایندها بر اساس اثرات تغییرات رطوبت خاک بر موج ارسالی رادار گرفته شده است. این فرایندهای فیزیکی لزوماً از یکدیگر جدا نیستند. تمرکزی بر پیاده سازی این فرایندها و مدل-سازی آنها نخواهد بود و برای واضح تر شدن تأثیرات این فرایندها نشان داده شده اند. در این مطالعه

#### ۴- روش

برای دستیابی به هدف اصلی مقاله در این تحقیق داده‌های زمینی رطوبت سطح خاک و  $\varphi$  محاسبه شده با یکدیگر مقایسه شده و به صورت اماری بررسی می‌شوند. در تحلیل اماری داده‌ها پس از محاسبه اینترفروگرام‌ها ابتدا  $\varphi$  و رطوبت زمینی اندازه‌گیری شده به صورت متقابل استخراج می‌شوند. سپس در نمودارهای نقطه‌ای انها نمایش داده و بررسی خواهد شد. پس از آن با در نظر گرفتن فرضیاتی، که در بخش بعد توضیح داده شده اند، رابطه بین رطوبت سطحی خاک و  $\varphi$  را داری با مدلی رگرسیونی بررسی شده است.

#### ۴-۱- فرضیات در نظر گرفته شده

به منظور کاهش پیچیدگی رابطه (۳)، و برای سهولت و امکان اجرای محاسبات در این مطالعه، برخی مفروضات مربوط به اجزای فاز در رابطه (۳) در نظر گرفته شده است. چنین فرضیاتی در مطالعات قبلی مربوط به این مبحث در نظر گرفته شده است [۱۱، ۷، ۵ و ۱۳]. خطای حذف این مؤلفه‌ها با روش‌های موجود، که به دلیل بازهای کوچک مکانی-زمانی بسیار ناچیز و قابل اغماس هستند، باعث کاهش ارتباط بین رطوبت سطح خاک و  $\varphi$  و زیاد شدن سهم اجزای مزاحم می‌شود. بنابراین، فرضیات زیر در نظر گرفته شده است تا مقدار این اجزای مزاحم را به حداقل برساند و از کاهش ارتباط بین رطوبت سطح خاک و  $\varphi$  جلوگیری کند [۷ و ۱۱].

#### ۴-۲- اجزای مزاحم

با توجه به خطوط بازهای مکانی-زمانی بسیار کوتاه، اجزای فاز  $\varphi_{def}$ ،  $\varphi_{topo\_res}$ ،  $\varphi_{orb\_d}$ ،  $\varphi_{atm\_d}$  و  $\varphi_{noise}$  در رابطه (۳) در محاسبه در نظر گرفته نشده اند. اندازه این اجزا در مقایسه با سهم  $\Delta M_v$  و تغییرات پوشش گیاهی در باز کوتاه مکانی-زمانی برای تشکیل  $\varphi$  بسیار ناچیز می‌باشد [۱۱ و ۲۴]. پس از استفاده از برخی روش‌های موجود برای حذف  $\varphi_{orb\_d}$  و  $\varphi_{atm\_d}$  یا کاهش  $\varphi_{noise}$  (به عنوان مثال، فیلترهای مکانی)،

سیگنال را به عنوان تابعی از طول موج و ثابت دی الکتریک مدل کرد. وابستگی نفوذ سیگنال به رطوبت سطح خاک توسط بسیاری از محققان مدل سازی شده است [۳۵]. فرضیه عمق نفوذ اظهار دارد که با تغییرات رطوبت سطح خاک، عمق نفوذ موج تغییر می‌کند که باعث تغییر در پراکنش موج و در نتیجه‌ی آن تغییر در فاز موج می‌گردد (شکل ۳-ج) را ببینید). ابهام نحوه ارتباط عمق نفوذ با  $\varphi$  قابل مشاهده است و غیرقابل پیش‌بینی بودن کوهرنس مشکل ذاتی در این روش است. به عنوان مثال در شرایط خاک  $M_v = 0.4 m^{-3}$  و  $M_v = 0.1 m^{-3}$  مدل هالیکاینن<sup>۲</sup> عمق نفوذ ۴ سانتی متر و ۲ سانتی متر در  $L$  باند، به ترتیب پیش‌بینی می‌کند، و مدل پیلینسکی پیش‌بینی می‌کند که برای دو شرایط به ترتیب ۱۳ سانتی متر و ۵ سانتی متر باشد [۲۸ و ۲۹]. البته تمام مطالعات انجام شده تاکید می‌کنند که طول موج راداری رفتار متفاوتی در نفوذ در خاک‌های مختلف نشان میدهند [۲۸ و ۳۶].

#### ۴-۳-۴- مکانیسم دی الکتریک (*Diet*)

بردار موج پیچیده تحت تأثیر ویژگی دی الکتریک یک محیط قرار می‌گیرد: تأثیرات جو اتمسفر بر روی  $\varphi$  اندازه‌گیری شده از طریق *DInSAR* یک مثال می‌باشد. رودانت و همکاران این ایده را که خواص دی الکتریک به طور قابل توجهی به رطوبت سطح خاک بستگی دارند، گسترش داد [۳۷]. دی زن و همکاران (۲۰۱۴) در مدلسازی پراکنده‌ی مرتبه اول کوهرنس را در خاک ناهمگن انجام داد: این مدلسازی با استفاده از تعداد زیادی پراکنده‌ی در خاک انجام شد [۵]. فرضیه مکانیسم دی الکتریک (به صورت شماتیک در شکل ۳-د) نشان داده شده است) بیان می‌کند که تغییرات ثابت دی الکتریک بر موج ارسالی توسط رادار به شدت تاثیر می‌گذارد. پیش‌بینی شده است که تغییر در خصوصیات

مدلسازی بین  $\Delta M_v$  و  $\varphi$  با یک مدل رگرسیونی انجام شده است. زیرا، مدل رگرسیون خطی نتایج مناسبی را در ارائه داده است [۷، ۱۱ و ۲۴].

#### ۴-۳-۱- فرضیه صفر (*Null*)

فرضیه صفر (به صورت شماتیک در شکل ۳-الف) نشان داده شده است) بیان می‌کند که هیچ رابطه‌ای بین  $\Delta M_v$  و  $\varphi$  وجود ندارد. بیشتر مطالعات تداخل-سنگی با هدف برآورد جابجایی این فرضیه را فرض کرده اند، جایی که تأثیرات  $\Delta M_v$  ناچیز فرض می‌شود [۱۵].

#### ۴-۳-۲- تأثیر چرخه خیس شدن / خشک شدن بر رفتار تورم

تأثیر  $\Delta M_v$  بر فاز تداخلی که الگوهای آن با واحدهای هیدرولوژیکی مطابقت دارد به عنوان جابجایی شناخته شده است [۶ و ۳۰]. انواع مختلف خاک پس از خیس شدن بیشتر (به عنوان مثال رس مونتموریلوئیت) متورم می‌شوند [۳۱، ۳۲ و ۳۳]. چنین تغییر شکل‌هایی، با استفاده از داده‌های زمینی و با استفاده از *DInSAR* مورد مطالعه و بررسی قرار گرفته اند [۳۴]. شکل ۳-ب) افزایش حجم خاک را به دلیل رطوبت نشان می‌دهد. اثرات  $\Delta M_v$  بر روی کوهرنس، به مکانیزم دقیق بستگی دارد: جابجایی یکنواخت منجر به کم شدن همبستگی در کوهرنس نمی‌شود، در حالی که تغییر غیر یکنواخت به راحتی می‌تواند کم شدن همبستگی را نشان دهد. بر این اساس، این تغییر شکل‌ها به انواع مختلف خاک بستگی دارد [۳۳]. علاوه بر این، حساسیت  $\varphi$  به این اثرات به شدت به طول موج رadar بستگی دارد [۱۶].

#### ۴-۳-۳- عمق نفوذ (*Pene*<sup>۱</sup>)

عمق نفوذ سیگنال به نوع خاک و شرایط آن بستگی دارد و نفوذ سیگنال به خاک جذب کننده کم می‌شود [۳۰]. هنگامی که خاک یکنواخت است، می‌توان نفوذ

<sup>۱</sup> Hallikainen

<sup>۱</sup> Penetration

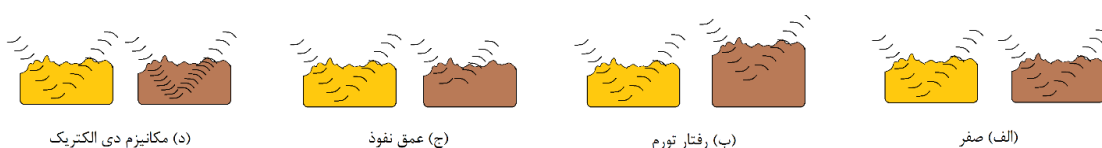
جدول(۲) اطلاعات بیشتر را از خصوصیات اینترفروگرامها شرح می‌دهد.

طبق جدول، باز مکانی جفتهای کمپین *CanEx-SM10* تقریباً صفر هستند و باز فاصله‌ی زمانی بین جفتهای اینترفروگرام از ۱ تا ۱۰ روز می‌باشد.

دی الکتریک منجر به تغییرات  $\varphi$  می‌شود، حتی اگر هیچ ناهمگنی در خاک وجود نداشته باشد [۵].

#### ۴-۴-پردازش‌های SAR

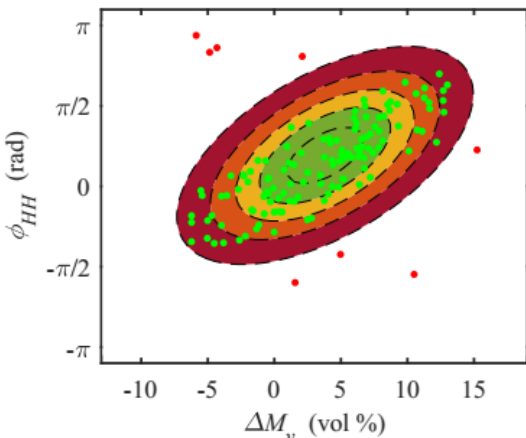
اینترفروگرامهای کامل برای همه جفت‌های احتمالی در کمپین *CanEx-SM10* تشکیل شده است که در مجموع ۱۵ مورد اینترفروگرام محاسبه شد.



شکل ۳: نمایش تأثیرات چهار فرضیه بر  $\varphi$ ، قهوه‌ای روشن: خاک خشک، قهوه‌ای تیره: خاک مرطوب.

جدول ۲: مشخصات جفت‌های تشکیل دهنده تداخل ناماها (MID: تاریخ تصویر پایه، SID: تاریخ تصویر پیرو،  $\Delta T$ : فاصله زمانی، PBD: تفاوت پایه مکانی عمودی).

شماره	MID	SID	$\Delta T$ (day)	PBD
۱	۲۰۱۰.۰۵	۲۰۱۰.۰۶	۱	.
۲	۲۰۱۰.۰۵	۲۰۱۰.۰۹	۴	.
۳	۲۰۱۰.۰۵	۲۰۱۰.۱۳	۸	.
۴	۲۰۱۰.۰۵	۲۰۱۰.۱۴	۹	.
۵	۲۰۱۰.۰۵	۲۰۱۰.۱۵	۱۰	.
۶	۲۰۱۰.۰۶	۲۰۱۰.۰۹	۳	.
۷	۲۰۱۰.۰۶	۲۰۱۰.۱۳	۷	.
۸	۲۰۱۰.۰۶	۲۰۱۰.۱۴	۸	.
۹	۲۰۱۰.۰۶	۲۰۱۰.۱۵	۹	.
۱۰	۲۰۱۰.۰۹	۲۰۱۰.۱۳	۴	.
۱۱	۲۰۱۰.۰۹	۲۰۱۰.۱۴	۵	.
۱۲	۲۰۱۰.۰۹	۲۰۱۰.۱۵	۶	.
۱۳	۲۰۱۰.۱۳	۲۰۱۰.۱۴	۱	.
۱۴	۲۰۱۰.۱۳	۲۰۱۰.۱۵	۲	.
۱۵	۲۰۱۰.۱۴	۲۰۱۰.۱۵	۱	.



شکل ۴: توزیع داده‌های  $\Delta M_v$  و  $\varphi$  بر توزیع نرمال دو متغیره آنها، در تجزیه و تحلیل‌ها از پراکنده‌های سبز استفاده می‌شود و موارد قرمز به عنوان اجزای مزاحم شناخته می‌شوند و آنها از تجزیه و تحلیل‌ها حذف می‌شوند.

**۶-۴- تحلیل بصری رابطه میان  $\varphi$  و  $\Delta M_v$**   
 نمودارهای نمودار پراکندگی برای پارامترهای  $\varphi$  و  $\Delta M_v$  در پلاریزهای مختلف و در انواع مختلف پوشش گیاهی برای تحلیل تجسمی رابطه احتمالی نمایش داده می‌شوند. نمودارهای پراکندگی در بخش نتایج ارائه شده و مورد بحث قرار گرفته اند. علاوه بر این، یک تجزیه و تحلیل کمی از کوهرننس بمنظور تعیین تأثیرات انواع محصولات،  $\Delta M_v$  و فاصله زمانی بر روی کوهرننس انجام شد که نمودارهای پراکندگی در بخش نتایج ارائه شده و مورد بحث قرار گرفته اند. تجزیه و تحلیل کمی کوهرننس برای بررسی منبع خطاهای با جزئیات بیشتر انجام شده است که میتوان عوامل تاثیرگذار بر رابطه بین  $\Delta M_v$  و  $\varphi$  را با جزئیات بیشتری بررسی و ارزیابی نمود. در این ارزیابی، با مقایسه بین تغییرات  $\varphi$  و کوهرننس مرتبط با نوسانات  $\Delta M_v$ ، منبع خطاهای را می‌توان تخمین زد.

به عنوان مثال، عدم ارتباط بین  $\Delta M_v$  با هر دو پارامتر  $\varphi$  و کوهرننس نشان دهنده‌ی آن است که خطای وارد شده بر اساس تغییر شکل نیست زیرا کوهرننس تحت تأثیر تغییر شکل قرار نمی‌گیرد [۵ و ۱۱]. اما، اگر همبستگی بین کوهرننس و  $\Delta M_v$  زیاد و بین  $\varphi$  و  $\Delta M_v$

**۴-۵- فیلتر آماری جهت حذف سهم اجزای مزاحم**  
 در این تحقیق یک فیلتر آماری مبتنی بر توزیع نرمال دو متغیره در نظر گرفته شده است تا با حذف داده‌های نویزی، سهم اجزای مزاحم را حذف کند. در تئوری و آمار احتمال، بعد بالاتر از توزیع‌های نرمال یک بعدی، توزیع نرمال چند متغیره است. از توزیع نرمال چند متغیره می‌توان برای توصیف مجموعه‌ای از متغیرهای مقدار واقعی استفاده کرد که احتمالاً می‌توانند با هم همبستگی داشته باشند [۲۸ و ۳۹]. توزیع نرمال دو متغیره نوعی توزیع طبیعی دو متغیره است که در این مطالعه برای شناسایی داده‌های نویزی استفاده شده است [۳۹]. شکل (۴) چگالی دو متغیره رسم شده بین  $\varphi$  و  $\Delta M_v$  و بیضی را نشان می‌دهد. هرچند این نمودار مربوط به توزیع دو متغیره  $\varphi$  و تغییرات رطوبت در یک زمین بدون پوشش گیاهی با فاصله زمانی بسیار کوتاه می‌باشد (بهترین حالت ممکن می‌باشد)، از این فیلتر تنها در جهت حذف سهم اجزای مزاحم استفاده شده است و مدلسازی به استفاده از یکتابع رگرسیونی که در ادامه توضیح داده خواهد شد استفاده شده است. توزیع نرمال دو متغیره بین  $\varphi$  و  $\Delta M_v$ ، تابع چگالی احتمال این پارامترها را نشان می‌دهد که داده‌های نویزی را می‌توان با در نظر گرفتن مقدار درست برای پارامتر تصمیم‌گیری  $\alpha$ ، به راحتی حذف کرد. شکل (۴) توزیع رطوبت سطح خاک و  $\varphi$  و توزیع نرمال دو متغیره این داده‌ها را نشان می‌دهد، که نشان می‌دهد نقاط پراکنده سبز در منطقه توزیع نرمال دو متغیره باشند و به عنوان داده‌های نرمال در تجزیه و تحلیل استفاده شده‌اند و نقاط پراکنده قرمز به عنوان داده‌های نویزی شناخته شده و برای تجزیه و تحلیل در نظر گرفته نشده است. پارامتر تصمیم‌گیری  $\alpha$  مربوط به نرمال بودن در  $\alpha = 0.05$  و فاصله اطمینان ۹۵٪ برای حذف سهم اجزای مزاحم در همه تحلیل‌ها از جمله تحلیل‌های پراکندگی، برآورد مدل و روند ارزیابی در نظر گرفته شده است.

گیاهی از مدل رگرسیونی حذف گردیده است. برای برآورده پارامترهای مدل، از روش حداقل مربعات تعمیم یافته (GLS<sup>۱</sup>) در مدل رگرسیون خطی استفاده شده است [۴۱]. در این فرایند، بمنظور مدلسازی خطاهای رگرسیون سازی به یک ماتریس کوواریانس نیاز است [۷۲]، که همانند مطالعات قبلی مدلسازی شده است [۲۶]. در فرآیند کالیبراسیون، از فیلتر اماری معرفی شده در این تحقیق، جهت حذف سهم اجزای مزاحم استفاده شده است.

#### ۳-۷-۴- ارزیابی مدل رگرسیونی

بمنظور ارزیابی مدل رگرسیونی همانند مطالعات قبلی، شاخص‌های آماری ضریب تعیین<sup>۲</sup> ( $R^2$ )، ریشه مربع میانگین خطای<sup>۳</sup> ( $RMSE$ )، خطای انحراف ( $bias$ ) و انحراف معیار استاندارد<sup>۴</sup> ( $StDev$ ) با مقایسه  $\varphi$  مشاهده شده و  $\varphi$  برآورده شده از طریق مدل رگرسیون تنظیم شده محاسبه شده است [۹]. در فرایند محاسبه‌ی شاخص‌های آماری، فاز اندازه‌گیری زمینی با فاز تخمین زده شده با استفاده از مدل رگرسیونی مقایسه شده است.

#### ۵- نتایج و بحث

در این بخش ابتدا نتایج به همراه تحلیل آنها اورده شده است، سپس عوامل مزاحم در بررسی رابطه بین  $\Delta M_v$  و  $\varphi$  بحث شده است.

#### ۵-۱- تجزیه و تحلیل رابطه میان $\Delta M_v$ و $\varphi$ بصورت بصری

شکل (۵) نمودارهای پراکندگی بین پارامترهای  $\Delta M_v$  و  $\varphi$  را برای قطبیدگی‌های مختلف بر زمین‌هایی با پوشش‌های گیاهی مختلف تماش میدهند. این نمودارهای پراکندگی بمنظور تحلیل بصری رابطه بین

کم باشد، میتوان منبع کاهش ارتباط بین  $\Delta M_v$  و  $\varphi$  ناشی از تغییر شکل دانست [۵ و ۷].

#### ۷-۴- مدل رگرسیونی ارائه شده در این تحقیق و کالیبراسیون آن

رابطه بین  $\Delta M_v$  و  $\varphi$  با یک مدل رگرسیون خطی ایجاد می‌شود. بنابراین فرض می‌شود که  $\varphi$  را می‌توان با یک مدل رگرسیون ساده به عنوان تابعی از  $\Delta M_v$  و یک توصیف کننده پوشش گیاهی در فاصله زمانی کوتاه مدل نمود [۷۲]. این رابطه سطح معناداری بالاتری برای برای تغییرات قابل توجه رطوبت سطح خاک را از خود نشان می‌دهد. هرچند در این تحقیق، بیشتر مزارع یا کاملاً بدون پوشش بوده اند یا تا حد بسیار کمی با بقایای پوشش گیاهی پوشیده شده‌اند [۷۲]. در نتیجه همانند تحقیق در کمپین *CanExSM10* پارامتر تغییرات پوشش گیاهی از مدل حذف شده است [۷ و ۱۱]. علاوه بر پوشش ناچیز زمین، همچنین فاصله زمانی بسیار کوتاه که باعث می‌شوند تغییرات پوشش گیاهی بسیار ناچیز باشد، و در نتیجه این تغییرات اصطلاحاً برای باند  $L$  نامرئی باشند [۲۴ و ۴۰].

#### ۷-۴-۱- مدل رگرسیونی

رابطه ارائه شده در تحقیق به بمنظور مدلسازی خطی رابطه  $\Delta M_v$  و  $\varphi$  در این تحقیق در نظر گرفته شده است [۷] (رابطه (۴)):

$$\varphi_{ij} = \beta_{\Delta M_v} \Delta M_v + \beta_{\Delta V} \Delta V + \epsilon_{ij} \quad (4)$$

جاییکه ضریب  $\beta_{\Delta M_v}$  نشان‌دهنده تأثیرات  $\Delta M_v$  بر  $\varphi$ ، و ضریب  $\beta_{\Delta V}$  نشان‌دهنده تأثیرات  $\Delta M_v$  بر  $\varphi$  می‌باشد.  $\epsilon_{ij}$  پارامتر خطای اینترفروگرام تشکیل شده بین تصاویر  $i$  و  $j$  را مدل می‌کند.

#### ۷-۴-۲- برآورد پارامترهای مدل رگرسیونی

برای کالیبره نمودن مدل ۳-۳، شیب‌های  $\beta_{\Delta M_v}$  و  $\beta_{\Delta V}$  باید تخمین زده شوند تا مدل رگرسیون تنظیم شود. فرایند برآورده، نیاز به داده‌های اندازه‌گیری شده زمینی  $\Delta M_v$  و تغییرات پوشش گیاهی به همراه داده محاسبه شده  $\varphi$  دارد [۷ و ۱۳]. هرچند در این مطالعه همانطور که در بخش‌های قبل توضیح داده شد جمله پوشش

<sup>۱</sup> Generalized least square

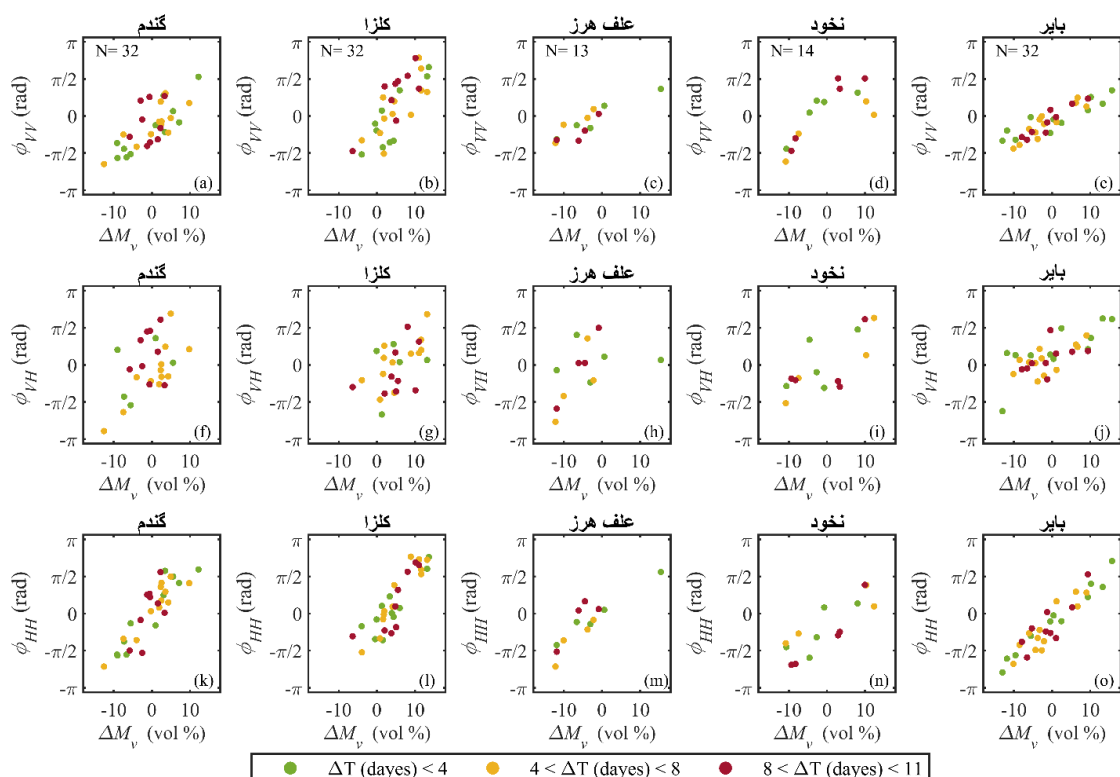
<sup>۲</sup> Coefficient of determination

<sup>۳</sup> Root mean square error

<sup>۴</sup> Standard deviation

متفاوت جدا رسم شده اند. فیلتر توضیح داده شده در بخش روش بمنظور شناسایی و حذف اثرات اجزای مزاحم اعمال شده است. با توجه به شکل(۵)، یک رابطه مثبت و تقریباً خطی را می‌توان بین  $\Delta M_v$  و  $\varphi$  به مشاهده کرد. محققان در مطالعات قبلی نتایج مشابهی را نشان داده اند [۷، ۱۱ و ۱۲].

$\Delta M_v$  و  $\varphi$  رسم شده اند که بخوبی این رابطه را نشان می‌دهند. بمنظور بررسی جزئی‌تر، پلات‌ها برای قطبیدگی‌های مختلف نشان داده شده‌اند که رفتارهای متغیرتی را در قطبیدگی‌های مختلف نشان می‌دهند. همچنین بمنظور بررسی تاثیر پوشش‌های گیاهی مختلف بر رابطه، نمودارها برای پوشش‌های گیاهی



شکل ۵: توزیع داده‌های  $\Delta M_v$  و  $\varphi$  را در کمپین CanEx-SM10 نشان می‌دهد، پایه‌های زمانی مختلف ( $\Delta T$ ) (با رنگ‌های مختلف) به تصویر کشیده شده اند.

در شکل(۵) نیز تاثیر پوشش‌های گیاهی مختلف بر رابطه بین  $\Delta M_v$  و  $\varphi$  نشان داده شده است. می‌توان مشاهده کرد که پراکندگی داده‌ها برای محصولات بترتیب کلزا > نخود فرنگی > علفهای هرز > گندم می‌باشد. نتایج نشان میدهد که رابطه بین  $\Delta M_v$  و  $\varphi$  برای پراکندگی‌های مرتبط با زمین‌های کشاورزی بدون پوشش در یک رابطه الگوی خطی با همبستگی زیاد است. در مقایسه بین پلاریزاسیون‌های مختلف در

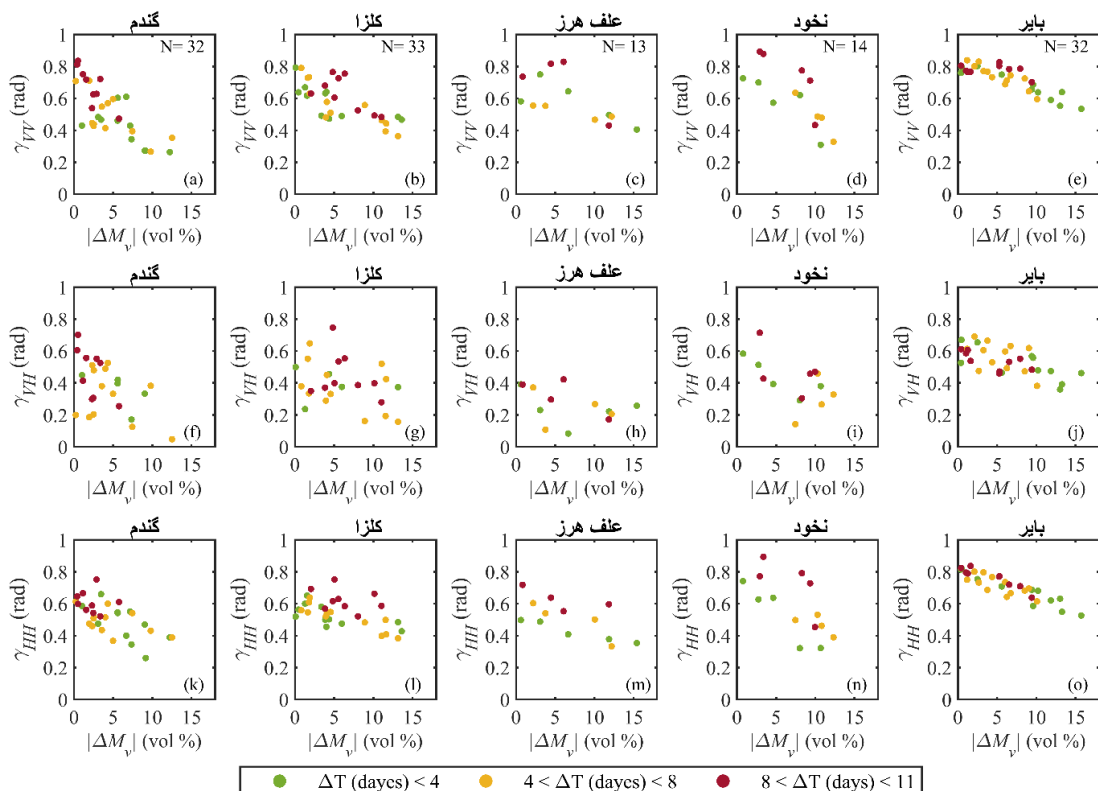
با مقایسه فاصله زمانی مختلف بر رابطه بین  $\Delta M_v$  و  $\varphi$  می‌توان مشاهده کرد که افزایش فاصله زمانی باعث پراکندگی بیشتر نقاط نمودارهای پراکندگی می‌شود. هرچند، به دلیل فاصله زمانی بسیار کوتاه در کمپین CanEx-SM10 (فاصله‌های زمانی کمتر از ۱۱ روز است)، تأثیرات این پارامتر در برخی نمودارهای پراکندگی مشخص است و در برخی دیگر روند خاصی را نشان نمی‌دهد.

مختلف نمایش داده شده است. در این نمودارها، فاصله‌های زمانی مختلف با رنگ‌های مختلف مشخص شده است. محققان در مطالعات قبلی نشان داده اند که کوهرنس با  $\Delta M_v$  رابطه معکوس و تقریباً خطی دارد، همانطور که در شکل(۶) مشاهده می‌شود [۷، ۴۲ و ۴۳]. در این تجزیه و تحلیل همچنین، همانند شیوه تجزیه و تحلیل پراکنده‌های  $\Delta M_v$  و فاز تداخلی، سهم اجزای مزاحم با استفاده از فیلتر معروفی شده در بخش‌های قبلی شناسایی و حذف می‌شوند.

شکل(۵)، مشاهده شده است که پراکنده‌گی‌ها در قطبیدگی  $VH$  ارتباط کمتری بین  $\Delta M_v$  و  $\varphi$  نشان می‌دهد اما، این ارتباط در قطبیدگی  $VV$  و  $HH$  منسجم‌تر و همبستگی بسیار بالاتری دارد. این نشان می‌دهد که قطبیدگی‌های هم قطبیش اطلاعات و تأثیرپذیری بیشتری از  $\Delta M_v$  دارند.

## ۲-۵- تجزیه و تحلیل رابطه میان تغییرات رطوبت سطح خاک همدوسری بصورت بصری

شکل(۶) تأثیر  $\Delta M_v$  بر همدوسری به صورت بصری در انواع پوشش‌های گیاهی مختلف و در قطبیدگی‌های



شکل ۶: توزیع داده‌های  $\Delta M_v$  و همدوسری را در کمپین CanEx-SM10 نشان می‌دهد، پایه‌های زمانی مختلف ( $\Delta T$ ) با رنگ‌های متفاوت به تصویر کشیده شده اند.

های گیاهی مختلف مشاهده می‌شود که مقادیر همدوسری گندم > علف هرز > کلزا > نخود > بایر می‌باشد. مطابق شکل(۶)، این می‌تواند مشاهده شود که مزارع نخود فرنگی، علف‌های هرز و گندم در کمپین CanEx-SM10، به ترتیب همبستگی کمتری در رابطه

با توجه به این نمودارها، با افزایش فاصله زمانی، شاهد کاهش همبستگی بین روابط  $\Delta M_v$  و همدوسری نیز می‌باشیم. عوامل مرتبط با کاهش همبستگی و خططاها را در ادامه بطور مفصل بحث شده است. با توجه به جدول(۳) و شکل(۶) و با مقایسه همدوسری در پوشش-

همدوسی در زمین‌های کشاورزی با پوشش گیاهی بسیار زیاد است که این نشان می‌دهد که اثرات مختلف پوشش گیاهی در زمان تصویربرداری بر روی همدوسی قابل توجه است. بنابراین، توزیع پراکنده‌ها برای همدوسی در مزارع زراعی بسیار بیشتر از مزارع بایر است.  $\varphi$  و همدوسی در قطبیدگی‌های مختلف رفتار یکسانی دارند، به عنوان مثال، نمودارهای نمودار پراکنده‌گی مرتبط با  $VH$  پراکنده‌گی بیشتری نشان می‌دهند. محققان در مطالعات قبلی نشان داده اند که طول موج‌های بلندتر (یا فرکانس‌های پایین‌تر) کمتر تحت تأثیر تغییرات بسیار کم رشد گیاه قرار می‌گیرند [۲۸، ۳۲ و ۴۴]. نتایج این مطالعه کاملاً مطابق با مطالعات قبلی است.

بین  $\Delta M_{\text{v}}$  و همدوسی را نشان داده‌اند که بدلیل وجود پوشش ناچیز زمین‌ها می‌باشد که باعث می‌شود همدوسی کاهش پیدا کند. در این تحلیل می‌توان نشان داد که پراکنده‌گی‌های مرتبط با زمین با بر دارای همدوسی بالاتر و همچنین همبستگی بیشتری هستند که بدلیل تغییرات بسیار کم پوشش سطح می‌باشد. همدوسی و  $\varphi$  در قطبیدگی‌های مختلف به طور مشابه رفتار می‌کنند و این مشاهده می‌شود که همدوسی مربوط به قطبیدگی‌های  $VH$  و  $HH$  همبستگی بیشتری را نسبت به قطبیدگی  $VH$  نشان می‌دهد. بنابراین، با توجه به نتایج پراکنده‌گی  $\varphi$  و همدوسی، می‌توان نتیجه گرفت که مشاهدات در قطبیدگی‌های همقطبش شامل اطلاعات بیشتری برای از  $\Delta M_{\text{v}}$  می‌باشند. طبق جدول(۳)، تفاوت بین کمترین و بالاترین مقادیر

جدول(۳): بیشترین و کمترین مقادیر همدوسی در زمین‌های مختلف و با پایه‌های زمانی مختلف ( $\Delta T$ )

		پایه‌های زمانی		گندم		کلزا		علف هرز		نخود		باير	
		(روز)		کمتر	بیشتر	کمتر	بیشتر	کمتر	بیشتر	کمتر	بیشتر	کمتر	بیشتر
$\gamma_{VV}$	$\Delta T < 4$	.61		.26	.79	.47	.75	.41	.73	.31	.80	.61	
	$4 < \Delta T < 8$	.71		.27	.79	.36	.56	.47	.64	.33	.84	.59	
	$8 < \Delta T < 11$	.84		.47	.76	.48	.83	.43	.89	.43	.83	.70	
$\gamma_{VH}$	$\Delta T < 4$	.60		.20	.65	.23	.55	.26	.74	.45	.67	.36	
	$4 < \Delta T < 8$	.63		.15	.75	.26	.47	.21	.56	.24	.69	.38	
	$8 < \Delta T < 11$	.43		.18	.43	.37	.42	.17	.71	.30	.61	.46	
$\gamma_{HH}$	$\Delta T < 4$	.66		.26	.65	.43	.50	.35	.74	.32	.82	.53	
	$4 < \Delta T < 8$	.61		.37	.64	.38	.60	.33	.53	.39	.80	.61	
	$8 < \Delta T < 11$	.75		.52	.75	.52	.72	.55	.89	.45	.84	.64	

### ۱-۳-۵- کالیبراسیون مدل رگرسیونی

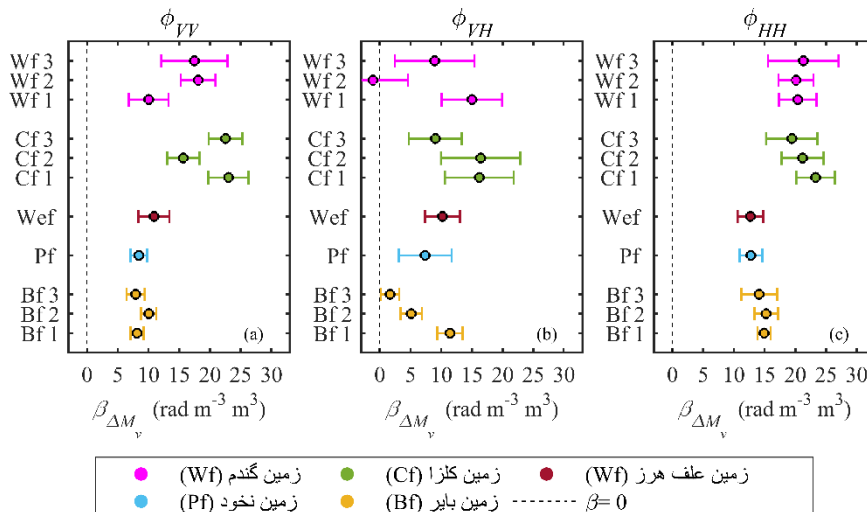
همانطور که بحث شد تنها ضرایب رگرسیون رطوبت خاک  $\beta_{\Delta M_{\text{v}}}$  تخمین زده شده است زیرا جمله پوشش گیاهی را در رابطه (۴) را ناچیز در نظر گرفتیم. ضرایب برآورد شده  $\beta_{\Delta M_{\text{v}}}$  برای انواع مختلف پوشش‌های گیاهی برای قطبیدگی‌های مختلف در کمپین *CanEx-SM10* در شکل(۷) نمایش داده شده است. همانطور که

### ۳-۵- مدل رگرسیونی

در این بخش ابتدا نتایج کالیبراسیون مدل رگرسیونی اورده شده و راجع به نتایج بحث شده است. سپس در بخش بعدی این مدل را با استفاده از پارامترهای اماری ارزیابی کردہ‌ایم.

سطحی خاک، تغییرات حدود ۲۸/۶ درجه را برای  $\varphi$  نتیجه می‌دهد.

مشاهده می‌شود تمام ضرایب مثبت هستند، بجز یکی از آنها که در قطبیدگی  $VH$  می‌باشد، که در حالت کلی نشان دهنده‌ی یک رابطه مثبت بین  $\Delta M_v$  اندازه‌گیری شده‌ی زمینی و  $\varphi$  است. برای مثال با ضریب =



شکل ۷: ضرایب کالیبراسیون مربوط به جمله رطوبت خاک در کمپین CanEx-SM10

از باند  $L$  در کمپین *CanEx-SM10* استفاده شد است، نتایج دقت مناسبی را برای زمین‌های پوشش گیاهی نشان می‌دهد، که به دلیل نفوذ پذیری بالای باند  $L$  همچنین فاصله‌های زمانی بسیار کوتاه می‌باشد.

**۴-۵- تفاوت‌های میان قطبیدگی‌های مختلف**  
اثر  $\Delta M_v$  و  $\Delta V$  بر روی همه قطبیدگی‌ها یکسان است، اما رفتار موج در قطبیدگی‌های مختلف در این تغییرات متفاوت می‌باشد، که به دلیل فیزیک پراکنش موج در قطبیدگی‌های مختلف است. به عنوان مثال، در بخش-های تحلیل بصری پراکندگی‌های  $\varphi$  و همدوسی مشاهده شد که در قطبیدگی  $VH$ ، نوسانات  $\varphi$  ارتباط کمتری با  $\Delta M_v$  نسبت به  $\varphi$  در قطبیدگی‌های  $VV$  و  $VH$  نشان می‌دهد. این نتایج با نتایج مطالعات قبلی مطابقت دارد [۱۱]. مشاهده می‌گردد که قطبیدگی‌های مختلف از انواع مختلف محصولات تأثیرپذیر می‌باشد، برای مثال، قطبیدگی  $HH$  در زمین باير با  $RMSE$  ۰/۶۱ رادیان، ضریب تعیین ۰/۷۲/۹ خطای ۰/۰۲ رادیان، و انحراف معیار ۰/۶۲ رادیان

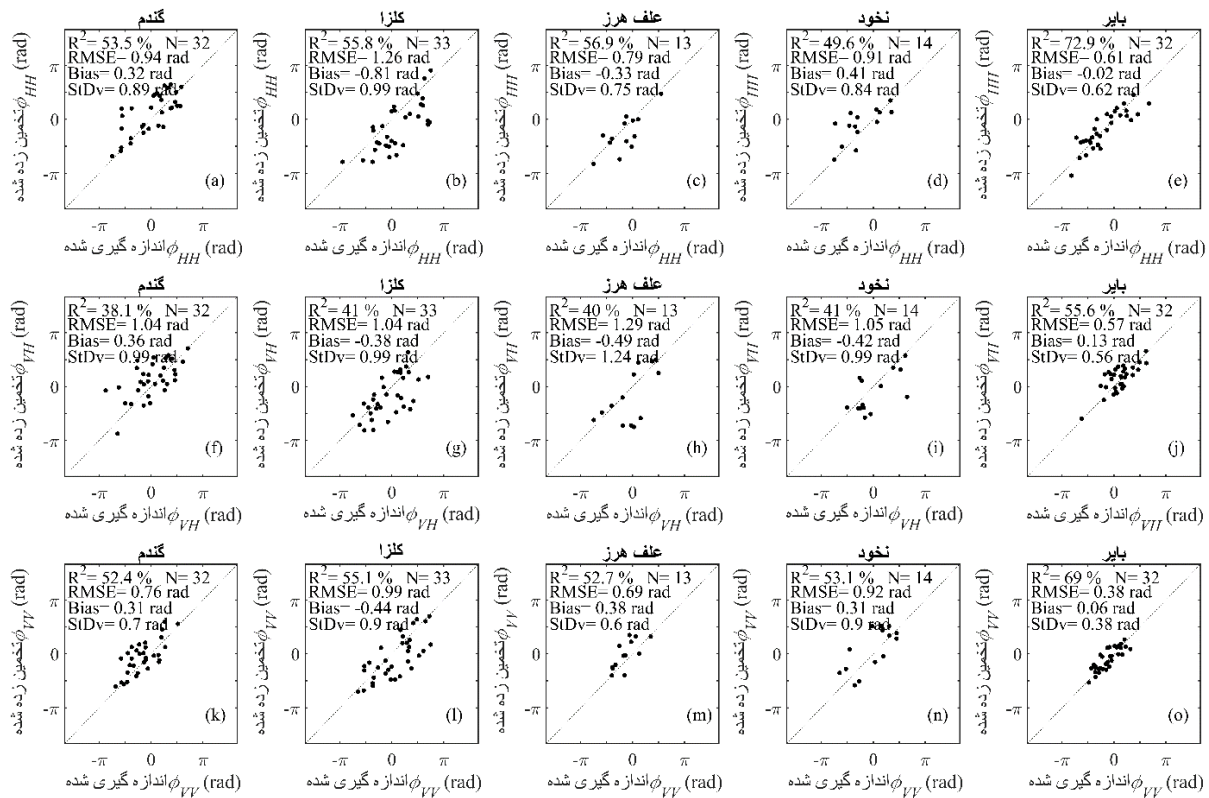
**۵-۳-۲- ارزیابی مدل رگرسیونی با پارامترهای آماری**  
شکل (۸) مقایسه بین  $\varphi$  برآورد شده با  $\varphi$  حاصل از تداخلنما را برای کمپین *CanEx-SM10* با استفاده از رگرسیون خطی نشان می‌دهد. جدول (۴) دقت رگرسیون مدل را در کمپین *CanEx-SM10* برای انواع پوشش‌های گیاهی مختلف به طور جداگانه نشان می‌دهد. مشاهده می‌شود که مدل رگرسیون نتایج بهتری را برای زمین‌های باير ارائه داده است ( $RMSE$  از ۰/۳۸ رادیان تا ۰/۶۱ رادیان،  $R2$  از ۰/۵۵٪ تا ۷۲٪) با توجه به قطبیدگی‌های مختلف،  $bias$  از ۰/۰۲ رادیان تا ۰/۰۶ رادیان و  $StDv$  از ۰/۳۸ رادیان تا ۰/۶۲ رادیان). در مقایسه قطبیدگی‌های مختلف، نتایج مرتبط با قطبیدگی‌های  $VH$  و  $HH$  نیز دقت بهتری را نشان داده اند ( $RMSE$  از ۰/۳۸ رادیان تا ۰/۹۹ رادیان،  $R2$  از ۰/۴۹٪ تا ۷۲٪) با توجه به قطبیدگی‌های مختلف،  $bias$  از ۰/۰۲ رادیان تا ۰/۰۴ رادیان و  $StDv$  از ۰/۳۸ رادیان تا ۰/۰۹ رادیان تا ۰/۰۹ رادیان). دقت پایین تر در قطبش  $VH$  نتیجه همبستگی کمتر در نتایج بررسی‌های قبلی می‌باشد. از انجایی که

کمپین، ضرایب مرتبط با قطبش  $VH$  تغییرات بیشتری دارند، که بی ثباتی را در رابطه بین  $\varphi$  در قطبیدگی  $VH$  و نشان می‌دهد. در بخش ارزیابی ضرایب کالیبراسیون تخمین زده شده، نتایج و دقت‌های قابل اطمینان‌تر در قطبیدگی‌های هم‌قطبش  $VV$  و  $HH$  مرتبط هستند. قطبش  $VH$  نتایج ناپایداری را ارائه می‌دهد، که نتیجه‌ی پراکنده‌ی بیشتر در بررسی بصری در نمودارهای پراکنده‌ی هندووسی و  $\varphi$  می‌باشد.

بهترین عمل را داشته است در حالی که بدتری عملکرد مربوط به قطبیدگی  $VH$  در زمین با پوشش ناچیز گندم با  $RMSE = 1.04$  رادیان، ضریب تعیین  $R^2 = 0.36$ ٪، خطای  $0.36$  رادیان، و انحراف معیار  $0.99$  رادیان *CanEx-SM10* می‌باشد. در فرآیند کالیبراسیون در کمپین  $SM10$  باند  $L$  ضرایب تخمینی مدل رگرسیونی در قطبیدگی‌های  $VV$  و  $HH$  به طور مشابه رفتار کرده‌اند، اما مقادیر ضرایب در  $HH$  بیشتر از  $VV$  است. در این

جدول ۴: دقت برآورد ضرایب کالیبراسیون در کمپین *CanEx-SM10*

#N	<i>HH</i>					<i>VH</i>					<i>VV</i>					
	<i>R2</i> (%)	<i>RMSE</i> (rad)	<i>bias</i> (rad)	<i>StDv</i> (rad)												
گندم	۳۲	۵۳.۵	۰.۹۴	۰.۳۲	۰.۸۹	۳۸.۱	۱.۰۴	۰.۳۶	۰.۹۹	۵۲.۴	۰.۷۶	۰.۳۱	۰.۷۰			
کلزا	۳۳	۵۵.۸	۱.۲۶	-۰.۸۱	۰.۹۹	۴۱.۰	۱.۰۴	-۰.۳۸	۰.۹۹	۵۵.۱	۰.۹۹	-۰.۴۴	۰.۹۰			
علف	۱۳	۵۶.۹	۰.۷۹	-۰.۳۳	۰.۷۵	۴۰.۰	۱.۲۹	-۰.۴۹	۰.۲۴	۵۲.۷	۰.۶۹	۰.۳۸	۰.۶۰			
هرز	۱۴	۴۹.۶	۰.۹۱	۰.۴۱	۰.۸۴	۴۱.۰	۱.۰۵	-۰.۴۲	۰.۹۹	۵۳.۱	۰.۹۲	۰.۳۱	۰.۹۰			
نخود	۳۲	۷۲.۹	۰.۶۱	-۰.۰۲	۰.۶۲	۵۵.۶	۰.۵۷	۰.۱۳	۰.۵۶	۶۹.۰	۰.۳۸	۰.۰۶	۰.۳۸			
بایر																



شکل ۸: نمودار رگرسیون میان فاز محاسبه شده توسط تصاویر رادار و فاز تخمین زده شده توسط مدل کالیبره شده رگرسیونی در کمپین CanEx-SMI10

سهم اجزای مزاحم با استفاده از فیلتر اماری معرفی شده شناسایی و حذف شده‌اند، و بدین ترتیب تأثیر نمونه‌های نویزی در محاسبات و تحقیق کاهش یافته است. خطای  $DEM$  به دقت  $\phi_{topo\_res}$  ووضوح  $DEM$  بستگی دارد و این خطای می‌تواند بصورت قابل توجهی  $\varphi$  تغییر دهد [۲۰]. خطای ناشی از تأخیر اتمسفر به شرایط و بخار آب موجود در جو بستگی دارد، که این خطای می‌تواند بر روی سیگنال  $\varphi$  تأثیر بگذارد [۲۲ و ۴۵]. این خطای همچنین به فرکانس حسگر بستگی دارد، چنانکه برای فرکانس‌های پایین‌تر، بسیار شدیدتر است [۱ و ۲۲]. با توجه به هدف این مطالعه، در طی فاصله زمانی دوره‌هایی از بارش وجود داشته است، که باعث تغییر در شرایط جوی می‌شود و منجر به کاهش ارتباط بین  $\Delta M_v$  و  $\varphi$  می‌شود. عدم مدلسازی پارامترهایی همچون تغییر در سرعت و جهت باد، به ویژه در مناطقی که پوشش گیاهی دارند،

## ۵-۵- منابع خطا در مدلسازی

$\varphi$  نه تنها تحت تأثیر  $\Delta M_v$  است بلکه تحت تأثیر تمام تغییراتی است که در طول فاصله زمانی بر سطح زمین رخداده نیز می‌باشد، که می‌تواند ارتباط بین  $\varphi$  و  $\Delta M_v$  را کاهش دهد، و در نتیجه، خطاهای بیشتری در تخمین  $\varphi$  با استفاده از مدل رگرسیون نتیجه دهد. در این بخش، ابتدا خطاهایی که مربوط به اجزای مؤلفه فازی، مورد بحث قرار می‌گیرند. سپس، خطاهای مرتبط با نحوه مدلسازی انجام گرفته در این تحقیق (مدلسازی  $\varphi$  به عنوان یکتابع رگرسیون ساده از  $\Delta M_v$  و پوشش گیاهی) بحث شده است.

در این مطالعه، اجزای  $\varphi_{def}$ ،  $\varphi_{atm\_d}$ ،  $\varphi_{topo\_res}$  و  $\varphi_{noise}$  در رابطه تجزیه  $\varphi$  (رابطه (۳)) ناچیز در نظر گرفته شدند، و آنها برای کاهش پیچیدگی از رابطه  $\varphi$   $DInSAR$  حذف شده و مدل رگرسیون (رابطه (۴)) در این تحقیق معرفی شده است. اگرچه

$\varphi$  در زمین‌های بایر مخصوصاً برای فاصله زمانی کوتاه‌تر (که تغییر شکل و سایر تغییرات وابسته به فاصله زمانی *CanEx-SM10* است) را داراست. همچنین کمپین *CanEx-SM10* دارای باند  $L$  می‌باشد که به دلیل طول موج بلند و فاصله زمانی کوتاه نتایج مناسبی را در تخمین  $\varphi$  در مزارع با پوشش گیاهی بسیار ناچیز ارائه داده است. بهترین نتیجه مدل رگرسیونی در قطبیدگی‌های *VV* و *HH* در زمین بایر با  $RMSE = 0.38$  و  $0.61$  رادیان و با ضریب همبستگی  $0.69\%$  و  $0.72\%$  می‌باشند، و بدترین نتایج مربوط به قطبیدگی *VH* و در زمین با پوشش ناچیز گندم با  $RMSE = 1.04$  رادیان و ضریب همبستگی  $0.38\%$  بدست امد. که این نتایج می‌تواند به دلیل عدم تأثیرگذاری تغییرات بسیار کم پوشش گیاهی بر طول موج‌های طولانی‌تر مانند باند  $L$  برای فاصله‌های زمانی کوتاه باشد. عوامل خطا در این تحقیق، که باعث کاهش دقت تخمین فاز و مدل رگرسیونی شده است، در دو گروه فهرست شده اند، (۱) فرضیات اولیه، (۲) عدم مدلسازی بسیاری از پارامترهای موثر مانند زبری، رفتار تورم و تغییر در شرایط باد.

$\Delta M_v$  دارای تأثیرات غیر قابل انکار بر  $\varphi$  است که می‌تواند تبدیل تخمین جابجایی را تحت تأثیر قرار دهد، چراکه این خطای می‌تواند از خطاهای اتمسفر، باقیمانده-ی توپوگرافی، و همچنین نویز بیشتر باشد و یا می‌تواند در برخی موارد از اندازه‌ی جابجایی یا نرخ آن نویز بزرگ‌تر باشد. بطور کلی، در این تحقیق نشان داده شد که  $\varphi$  تابعی مستقیم و رگرسیونی از  $\Delta M_v$  می‌باشد، در نتیجه، در مواردی که بررسی جابجایی و نرخ جابجایی مقادیر کوچکی می‌باشند، تغییرات شدید رطوبت سطحی خاک می‌تواند خطای قابل توجهی حتی به بزرگی جابجایی یا نرخ آن به محاسبات وارد نماید.

[1] R. F. Hanssen, *Radar interferometry: data interpretation and error analysis*, vol. 2. Springer Science & Business Media, 2001.

می‌توانند یک عامل کاهش دهنده‌ی دقت باشد. در نتیجه، اگرچه این مدل نتایج مطلوبی را برای زمین‌های با پوشش گیاهی اندک فراهم می‌کند، مدل رگرسیون خطی قادر به تخمین دقیق  $\varphi$  در زمین‌های با پوشش گیاهی مخصوصاً با فاصله زمانی طولانی نبوده است. این نتایج کاملاً با مطالعات قبلی سازگار است [۴۸ و ۴۴].

## ۶- نتیجه‌گیری

نقشه‌های جابجایی و نرخ جابجایی به منظور ارزیابی میزان خطرات و کمک به تصمیم‌گیری در مدیریت بحران استفاده می‌شود. در نتیجه بررسی و تحقیق راجع به استفاده از تداخل‌سنجدی راداری به منظور تهیه نقشه جابجایی بسیار امری حیاتی می‌باشد. در این میان بسیاری از پژوهشگران به بررسی عوامل تأثیر گذار بر دقت استفاده از روش تداخل‌سنجدی راداری (به منظور برآورد جابجایی) پرداخته‌اند. تداخل‌سنجدی راداری یک روش سنجش از دوری است که می‌تواند تغییرات و جابجایی‌های سطح زمین را با دقت زیر سانتی‌متر با استفاده از ترکیب دو تصویر با اختلاف زمانی یا مکانی مشخص برآورد کند. عوامل بسیاری از جمله توپوگرافی منطقه، اتمسفر، نویز، تغییر پارامترهای پویای سطح زمین (رشد پوشش گیاهی  $\Delta M_v$ ) و غیره بر دقت برآورد جابجایی تأثیرگذار هستند.

در این تحقیق تأثیر تغییرات رطوبت بر  $\varphi$  در باند  $L$  در قطبیدگی‌های مختلف مورد بررسی و بحث قرار گرفته است. در این راستا یک مدلسازی رگرسیونی بین  $\varphi$  و  $\Delta M_v$  با در نظر گرفتن چندین فرضیه انجام شده است.  $\varphi$  از طریق  $\Delta M_v$  در باند  $L$  با استفاده از مدل رگرسیونی تخمین زده شده است. داده‌های مناسب به سنجنده‌ی *UAWSAR* در باند  $L$  اخذ شده بر روی سایت تحقیقاتی کمپین *CanEx-SM10* برای مقایسه نتایج استفاده شد. نتایج نشان داد که این مدل توانایی برآورد قابل اعتماد

## مراجع

[2] D. Massonnet et al., "The displacement field of the Landers earthquake mapped by radar interferometry," *Nature*, vol. 364, no. 6433, pp. 138–142, 1993.

- [3] R. F. Hanssen, T. M. Weckwerth, H. A. Zebker, and R. Klees, "High-resolution water vapor mapping from interferometric radar measurements," *Science* (80-. ), vol. 283, no. 5406, pp. 1297–1299, 1999.
- [4] R. Bürgmann, P. A. Rosen, and E. J. Fielding, "Synthetic aperture radar interferometry to measure Earth's surface topography and its deformation," *Annu. Rev. Earth Planet. Sci.*, vol. 28, no. 1, pp. 169–209, 2000.
- [5] F. De Zan, A. Parizzi, P. Prats-Iraola, and P. López-Dekker, "A SAR interferometric model for soil moisture," *IEEE Trans. Geosci. Remote Sens.*, vol. 52, no. 1, pp. 418–425, 2013.
- [6] A. K. Gabriel, R. M. Goldstein, and H. A. Zebker, "Mapping small elevation changes over large areas: Differential radar interferometry," *J. Geophys. Res. Solid Earth*, vol. 94, no. B7, pp. 9183–9191, 1989.
- [7] S. Zwieback, S. Hensley, and I. Hajnsek, "Assessment of soil moisture effects on L-band radar interferometry," *Remote Sens. Environ.*, vol. 164, pp. 77–89, 2015.
- [8] F. De Zan and G. Gomba, "Vegetation and soil moisture inversion from SAR closure phases: First experiments and results," *Remote Sens. Environ.*, vol. 217, pp. 562–572, 2018.
- [9] S. Ranjbar, A. Zarei, M. Hasanlou, M. Akhoondzadeh, J. Amini, and M. Amani, "Machine learning inversion approach for soil parameters estimation over vegetated agricultural areas using a combination of water cloud model and calibrated integral equation model," *J. Appl. Remote Sens.*, vol. 15, no. 1, pp. 1–17, 2021, doi: 10.1117/1.JRS.15.018503.
- [10] S. Ranjbar and M. Akhoondzadeh, "Volumetric soil moisture estimation using Sentinel 1 and 2 satellite images," *kntu-jgit*, vol. 7, no. 4, pp. 215–232, Mar. 2020, doi: 10.29252/jgit.7.4.215.
- [11] S. Zwieback, S. Hensley, and I. Hajnsek, "Soil moisture estimation using differential radar interferometry: Toward separating soil moisture and displacements," *IEEE Trans. Geosci. Remote Sens.*, vol. 55, no. 9, pp. 5069–5083, 2017.
- [12] B. Barrett, P. Whelan, and E. Dwyer, "Detecting changes in surface soil moisture content using differential SAR interferometry," *Int. J. Remote Sens.*, vol. 34, no. 20, pp. 7091–7112, 2013.
- [13] S. Zwieback, S. Hensley, and I. Hajnsek, "A polarimetric first-order model of soil moisture effects on the DInSAR coherence," *Remote Sens.*, vol. 7, no. 6, pp. 7571–7596, 2015.
- [14] F. De Zan, M. Zonno, and P. Lopez-Dekker, "Phase inconsistencies and multiple scattering in SAR interferometry," *IEEE Trans. Geosci. Remote Sens.*, vol. 53, no. 12, pp. 6608–6616, 2015.
- [15] A. Ferretti, A. Fumagalli, F. Novali, C. Prati, F. Rocca, and A. Rucci, "A new algorithm for processing interferometric data-stacks: SqueeSAR," *IEEE Trans. Geosci. Remote Sens.*, vol. 49, no. 9, pp. 3460–3470, 2011.
- [16] S. Hensley et al., "Effect of soil moisture on polarimetric-interferometric repeat pass observations by UAVSAR during 2010 Canadian soil moisture campaign," in *2011 IEEE International Geoscience and Remote Sensing Symposium*, 2011, pp. 1063–1066.
- [17] Y. Eshqi Molan and Z. Lu, "Can InSAR Coherence and Closure Phase Be Used to Estimate Soil Moisture Changes?", *Remote Sens.*, vol. 12, no. 9, p. 1511, 2020.
- [18] S. Cloude, *Polarisation: applications in remote sensing*. OUP Oxford, 2009.
- [19] S. R. Cloude and K. P. Papathanassiou, "Polarimetric SAR interferometry," *IEEE Trans. Geosci. Remote Sens.*, vol. 36, no. 5, pp. 1551–1565, 1998.
- [20] H. A. Zebker and J. Villasenor, "Decorrelation in interferometric radar echoes," *IEEE Trans. Geosci. Remote Sens.*

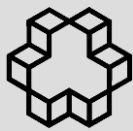
- Sens.*, vol. 30, no. 5, pp. 950–959, 1992.
- [21] H. A. Zebker, C. L. Werner, P. A. Rosen, and S. Hensley, “Accuracy of topographic maps derived from ERS-1 interferometric radar,” *IEEE Trans. Geosci. Remote Sens.*, vol. 32, no. 4, pp. 823–836, 1994.
- [22] H. A. Zebker, P. A. Rosen, and S. Hensley, “Atmospheric effects in interferometric synthetic aperture radar surface deformation and topographic maps,” *J. Geophys. Res. Solid Earth*, vol. 102, no. B4, pp. 7547–7563, 1997.
- [23] V. Brancato and I. Hajnsek, “Separating the Influence of Vegetation Changes in Polarimetric Differential SAR Interferometry,” *IEEE Trans. Geosci. Remote Sens.*, vol. 56, no. 12, pp. 6871–6883, 2018.
- [24] S. Zwieback and I. Hajnsek, “Influence of vegetation growth on the polarimetric zero-baseline DInSAR phase diversity—Implications for deformation studies,” *IEEE Trans. Geosci. Remote Sens.*, vol. 54, no. 5, pp. 3070–3082, 2016.
- [25] D. Massonnet and K. L. Feigl, “Radar interferometry and its application to changes in the Earth’s surface,” *Rev. Geophys.*, vol. 36, no. 4, pp. 441–500, 1998.
- [26] P. S. Agram and M. Simons, “A noise model for InSAR time series,” *J. Geophys. Res. Solid Earth*, vol. 120, no. 4, pp. 2752–2771, 2015.
- [27] R. Magagi et al., “Canadian Experiment for Soil Moisture in 2010 (CanEx-SM10): Overview and Preliminary Results,” vol. 51, no. 1, pp. 347–363, 2013.
- [28] M. T. Hallikainen, F. T. Ulaby, M. C. Dobson, M. A. El-Rayes, and L.-K. Wu, “Microwave dielectric behavior of wet soil-part 1: Empirical models and experimental observations,” *IEEE Trans. Geosci. Remote Sens.*, no. 1, pp. 25–34, 1985.
- [29] N. R. Peplinski, F. T. Ulaby, and M. C. Dobson, “Dielectric properties of soils in the 0.3-1.3-GHz range,” *IEEE Trans. Geosci. Remote Sens.*, vol. 33, no. 3, pp. 803–807, 1995.
- [30] M. Nolan, D. R. Fatland, and L. Hinzman, “DInSAR measurement of soil moisture,” *IEEE Trans. Geosci. Remote Sens.*, vol. 41, no. 12, pp. 2802–2813, 2003.
- [31] K. Norrish, “The swelling of montmorillonite,” *Discuss. Faraday Soc.*, vol. 18, pp. 120–134, 1954.
- [32] F. T. Ulaby, K. Sarabandi, K. McDonald, M. Whitt, and M. C. Dobson, “Michigan microwave canopy scattering model,” *Int. J. Remote Sens.*, vol. 11, no. 7, pp. 1223–1253, 1990.
- [33] A. R. Mitchell, “Soil surface shrinkage to estimate profile soil water,” *Irrig. Sci.*, vol. 12, no. 1, pp. 1–6, 1991.
- [34] B. te Brake, R. F. Hanssen, M. J. van der Ploeg, and G. H. de Rooij, “Satellite-based radar interferometry to estimate large-scale soil water depletion from clay shrinkage: Possibilities and limitations,” *Vadose Zo. J.*, vol. 12, no. 3, pp. 1–13, 2013.
- [35] V. Mironov, Y. Kerr, J.-P. Wigneron, L. Kosolapova, and F. Demontoux, “Temperature-and texture-dependent dielectric model for moist soils at 1.4 GHz,” *IEEE Geosci. Remote Sens. Lett.*, vol. 10, no. 3, pp. 419–423, 2012.
- [36] F. Ulaby and D. Long, *Microwave Radar and Radiometric Remote Sensing*. 2014.
- [37] J.-P. Rudant, A. Bedidi, R. Calonne, D. Massonnet, and G. Nesti, “Laboratory experiments for the interpretation of phase shift in SAR interferograms,” *ESA SP*, 1997.
- [38] G. G. Hamedani and M. N. Tata, “On the determination of the bivariate normal distribution from distributions of linear combinations of the variables,” *Am. Math. Mon.*, vol. 82, no. 9, pp. 913–915, 1975.
- [39] A. Genz and F. Bretz, *Computation of multivariate normal and t probabilities*, vol. 195. Springer Science & Business Media,

2009.

- [40] L. Tsang and J. A. Kong, *Scattering of electromagnetic waves: advanced topics*, vol. 26. John Wiley & Sons, 2004.
- [41] J. Pinheiro, D. Bates, S. DebRoy, D. Sarkar, and R. C. Team, “Linear and nonlinear mixed effects models,” *R Packag. version*, vol. 3, no. 57, pp. 1–89, 2007.
- [42] Q. Yin, W. Hong, Y. Li, and Y. Lin, “Analysis on soil moisture estimation of SAR data based on coherent scattering model,” in *EUSAR 2014; 10th European Conference on Synthetic Aperture Radar*, 2014, pp. 1–4.
- [43] Y. Eshqi Molan, “Soil Moisture Contributions to InSAR Phase and Decorrelation,” 2020.
- [44] F. T. Ulaby and M. A. El-Rayes, “Microwave dielectric spectrum of

vegetation-Part II: Dual-dispersion model,” *IEEE Trans. Geosci. Remote Sens.*, no. 5, pp. 550–557, 1987.

- [45] R. Goldstein, “Atmospheric limitations to repeat - track radar interferometry,” *Geophys. Res. Lett.*, vol. 22, no. 18, pp. 2517 – 2520, 1995.



## Study of soil moisture change effects on L-band DInSAR phase

Sadegh Ranjbar <sup>1</sup>, Mehdi Akhoondzadeh <sup>2\*</sup>

1- M. Sc. in Remote Sensing, School of Surveying and Geospatial Engineering, College of Engineering, University of Tehran.  
2- Assistant Professor, School of Surveying and Geospatial Engineering, College of Engineering, University of Tehran.

### Abstract

The Differential Synthetic Aperture Radar Interferometry (DInSAR) technique is recognized as a potential remote sensing tool for detecting ground surface displacements with less than a centimetre accuracy. The surface soil moisture changes ( $\Delta M_v$ ) during the time between the two images as an effective parameter on interferometry phase  $\varphi$ , leads to incorrect calculation of ground movement . In this research, the amount and the way that  $\Delta M_v$  affects  $\varphi$  on wheat, rapeseed, weed, pea and idle land fields have been investigated empirically using a regression model. To do this investigation, airborne data UAVSAR (L-band) along with ground-based data in the CanEx-SM10 campaign in 2010 were used. According to the scattergraphs between  $\varphi$  and  $\Delta M_v$ , and observing a direct and approximately linear relationship between them, some hypotheses were taken into consideration in order to use a regression modeling . Comparing the estimated  $\varphi$  using the calibrated regression model and calculated  $\varphi$  from the interferometry technique shows that the model provided the best results for the bare field in VV and HH polarizations (RMSE) of 0.3 to 0.6 rad and R2 of 69% to 72%. In general, the results of the regression model showed that without other factors' effects on  $\varphi$ , this parameter can be modelled  $\Delta M_v$  based on a regression function in bare fields. The model also provided acceptable results in vegetated fields (RMS of 0.6 to 0.99 rad and R2 of 40% to 55% depending on the different vegetation types and different polarizations). Comparing polarizations,  $\varphi$  fluctuations in co-polarizations (HH and VV) showed a higher correlation with  $\Delta M_v$ . Consequently,  $\varphi$  is directly affected by  $\Delta M_v$ , and significant changes in  $\Delta M_v$  brings about a considerable error in displacement estimation.

**Key words:** DInSAR, phase, temporal decorrelation, surface soil moisture change.

**Correspondence Address :** School of Surveying and Geospatial Engineering, University of Tehran, Tehran, Iran.  
Tel: +98 21 61114522.  
Email: makhonz@ut.ac.ir